

NMR spektroskopie

Metody biofyzikální chemie - seminář (C5856)

Martin Novák
323460@mail.muni.cz

18. listopadu 2015

Interakce jaderného spinového momentu - kontext

Doplňte k zadaným interakčním mechanismům symbolické znázornění a příslušný Hamiltonián:

Dipol-dipolová interakce

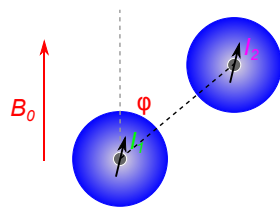
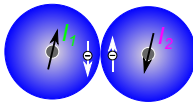
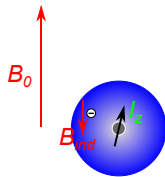
Chemický posun

Nepřímá spin-spinová interakce

$$\hat{H}_i = -\mu \cdot B_{ind} \propto \gamma_i \hat{l}_z \cdot \sigma \cdot B_0$$

$$\hat{H}_{ij} \propto \frac{\gamma_i \gamma_j (3 \cos^2 \varphi - 1)}{r^3} \hat{l}_i \cdot \hat{l}_j$$

$$\hat{H}_{ij} \propto 2\pi J \cdot \hat{l}_i \cdot \hat{l}_j$$



Úlohy na rozjezd - rozhodněte o pravdivosti následujících tvrzení

- 1 Metodou NMR strukturní analýzy se rutinně studují biosystémy o velikosti do 10 kDa.

Úlohy na rozjezd - rozhodněte o pravdivosti následujících tvrzení

- ① Metodou NMR strukturní analýzy se rutinně studují biosystémy o velikosti do 10 kDa.
- ② Nukleární Overhauserův efekt umožňuje korelovat NMR aktivní jádra pouze v rámci jednoho spinového systému.

Úlohy na rozjezd - rozhodněte o pravdivosti následujících tvrzení

- ① Metodou NMR strukturní analýzy se rutinně studují biosystémy o velikosti do 10 kDa.
- ② Nukleární Overhauserův efekt umožňuje korelovat NMR aktivní jádra pouze v rámci jednoho spinového systému.
- ③ V NMR pevné fáze jsou spektra ovlivněna anizotropií chemického stínění a přímou dipól-dipólovou interakcí

Úlohy na rozjezd - rozhodněte o pravdivosti následujících tvrzení

- ① Metodou NMR strukturní analýzy se rutinně studují biosystémy o velikosti do 10 kDa.
- ② Nukleární Overhauserův efekt umožňuje korelovat NMR aktivní jádra pouze v rámci jednoho spinového systému.
- ③ V NMR pevné fáze jsou spektra ovlivněna anizotropií chemického stínění a přímou dipól-dipólovou interakcí
- ④ Rozlišení signálů v NMR spektru roste s velikostí externího magnetického pole, protože rezonanční frekvence je úměrná B_0 .

Úlohy na rozjezd - rozhodněte o pravdivosti následujících tvrzení

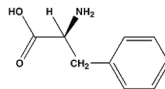
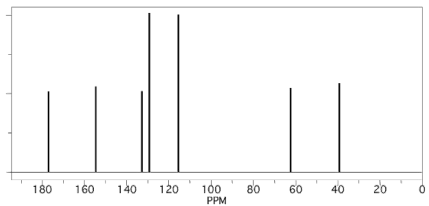
- ① Metodou NMR strukturní analýzy se rutinně studují biosystémy o velikosti do 10 kDa.
- ② Nukleární Overhauserův efekt umožňuje korelovat NMR aktivní jádra pouze v rámci jednoho spinového systému.
- ③ V NMR pevné fáze jsou spektra ovlivněna anizotropií chemického stínění a přímou dipól-dipólovou interakcí
- ④ Rozlišení signálů v NMR spektru roste s velikostí externího magnetického pole, protože rezonanční frekvence je úměrná B_0 .
- ⑤ Rezonanční signál ovlivněný výměnou vzhledem k NMR časové škále se projevuje ve spektru rozšířením a polohou rezonanční linie odpovídající váženému průměru chemických posunů limitních stavů.

Úlohy na rozjezd - rozhodněte o pravdivosti následujících tvrzení

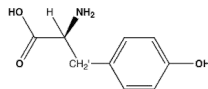
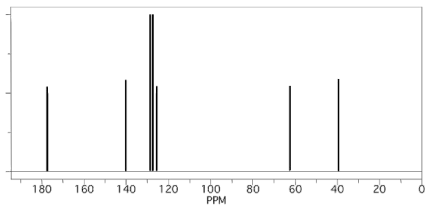
- ① Metodou NMR strukturní analýzy se rutinně studují biosystémy o velikosti do 10 kDa.
- ② Nukleární Overhauserův efekt umožňuje korelovat NMR aktivní jádra pouze v rámci jednoho spinového systému.
- ③ V NMR pevné fáze jsou spektra ovlivněna anizotropií chemického stínění a přímou dipól-dipólovou interakcí
- ④ Rozlišení signálů v NMR spektru roste s velikostí externího magnetického pole, protože rezonanční frekvence je úměrná B_0 .
- ⑤ Rezonanční signál ovlivněný výměnou vzhledem k NMR časové škále se projevuje ve spektru rozšířením a polohou rezonanční linie odpovídající váženému průměru chemických posunů limitních stavů.
- ⑥ NMR spektrum proteinu s malým stupněm strukturovanosti(foldu) se vyznačuje úzkými signály a malou disperzí.

Úloha 1: Chemický posun - identifikace aminokyselin

Pro daná ^{13}C NMR spektra určete, jaké aromatické aminokyselině náleží a proč.



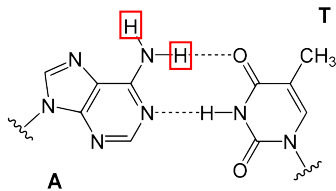
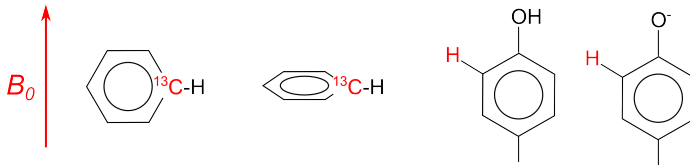
phenylalanine



tyrosine

Úloha 2: Chemický posun - rozlišení

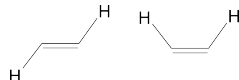
Pro dané systémy, rozhodněte, který z dvojice označených atomů bude mít vyšší hodnotou chemického posunu:



Úloha 3: J -coupling a konformace vazby, Karplusova rovnice

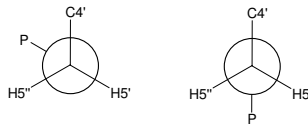
Pro určení torzního úhlu v kovalentních strukturách slouží analýza vicinálních spin-spinových konstant (tzv. 3J -coupling).

- **Kvalitativní pohled:** Na základě srovnání orbitálního překryvu rozhodněte, v jaké konfiguraci nabývá 3J větší hodnoty.



- **Kvantitativní pohled:** K určení konformace cukr-fosfátové páteře nukleových kyselin se používá Karplusova rovnice parametrizovaná mj. pro interakci H5' a P:
$${}^3J_{HCOP} = 15.3\cos^2\varphi - 6.2\cos\varphi + 1.5.$$

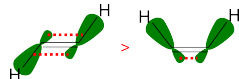
Vypočtěte hodnotu konstanty pro znázorněné konformery a charakterizujte je pomocí velikosti úhlu β :



Úloha 3: J -coupling a konformace vazby, Karplusova rovnice

Pro určení torzního úhlu v kovalentních strukturách slouží analýza vicinálních spin-spinových konstant (tzv. 3J -coupling).

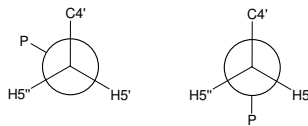
- **Kvalitativní pohled:** Na základě srovnání orbitálního překryvu rozhodněte, v jaké konfiguraci nabývá 3J větší hodnoty.



- **Kvantitativní pohled:** K určení konformace cukr-fosfátové páteře nukleových kyselin se používá Karplusova rovnice parametrizovaná mj. pro interakci H5' a P:

$$^3J_{HCOP} = 15.3\cos^2\varphi - 6.2\cos\varphi + 1.5.$$

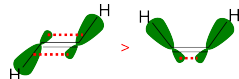
Vypočtěte hodnotu konstanty pro znázorněné konformery a charakterizujte je pomocí velikosti úhlu β :



Úloha 3: J -coupling a konformace vazby, Karplusova rovnice

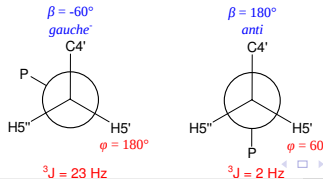
Pro určení torzního úhlu v kovalentních strukturách slouží analýza vicinálních spin-spinových konstant (tzv. 3J -coupling).

- **Kvalitativní pohled:** Na základě srovnání orbitálního překryvu rozhodněte, v jaké konfiguraci nabývá 3J větší hodnoty.



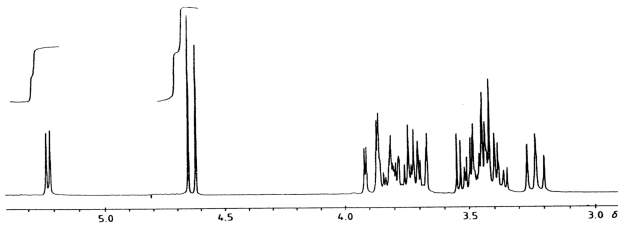
- **Kvantitativní pohled:** K určení konformace cukr-fosfátové páteře nukleových kyselin se používá Karplusova rovnice parametrizovaná mj. pro interakci H5' a P:
$$^3J_{HCOP} = 15.3\cos^2\varphi - 6.2\cos\varphi + 1.5.$$

Vypočtěte hodnotu konstanty pro znázorněné konformery a charakterizujte je pomocí velikosti úhlu β :



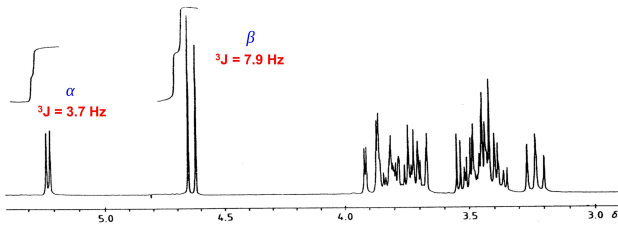
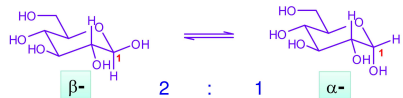
Úloha 3: *J*-coupling a konformace vazby

Pomocí přiloženého 1D ^1H NMR spektra odhadněte poměr α a β izomeru v roztoku D-glukopyranozy naměřeném v D_2O .



Úloha 3: *J*-coupling a konformace vazby

Pomocí přiloženého 1D ^1H NMR spektra odhadněte poměr α a β izomeru v roztoku D-glukopyranozy naměřeném v D_2O .



Úloha 4: Příklady biochemických aplikací

K uvedeným problémům strukturní analýzy přiřaďte odpovídající techniku:

Potlačení dipol-dipolové relaxace u proteinu

Rozlišení intra- a intermolekulárních kontaktů v komplexu ligand-receptor

Odstranění signálů labilních protonů v molekule nukleové kyseliny

Přiřazení málo rozlišených signálů v nestrukturované části proteinu

Mapování reziduí směřujících k povrchu proteinu

Převedení vzorku do D₂O

¹³C editované NOESY spektrum

Exprese proteinu v deuterovaném médiu

Aplikace paramagnetických sond

Multidimensionální inverzní experimenty (4D, 5D)

Úloha 4: Příklady biochemických aplikací

K uvedeným problémům strukturní analýzy přiřaďte odpovídající techniku:

Potlačení dipol-dipolové relaxace u proteinu

exprése proteinu v deuterovaném médiu

Rozlišení intra- a intermolekulárních kontaktů v komplexu ligand-receptor

^{13}C editované NOESY spektrum

Odstranění signálů labilních protonů v molekule nukleové kyseliny

převedení vzorku do D_2O

Přiřazení málo rozlišených signálů v nestrukturované části proteinu

multidimenzionální inverzní experimenty (4D, 5D)

Mapování reziduí směřujících k povrchu proteinu

exprése proteinu v deuterovaném médiu

Úloha 5: Protein vs. Nukleové kyseliny: NMR aspekty

Diskutujte o následujících praktických okolností NMR experimentů při srovnání protein a DNA/RNA:

	Proteiny	NA
Syntéza vzorku		
Izotopické značení		
Hustota ^1H		
Sekvenční přiřazení		
Restrainty pro určení struktury		

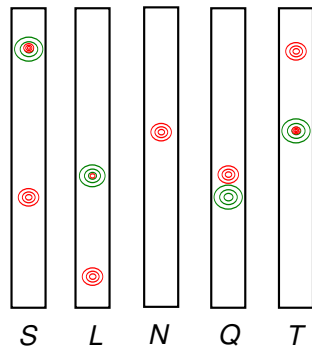
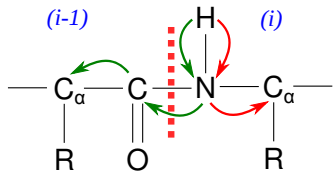
Úloha 5: Protein vs. Nukleové kyseliny: NMR aspekty

Diskutujte o následujících praktických okolností NMR experimentů při srovnání protein a DNA/RNA:

	Proteiny	NA
Syntéza vzorku	<i>in vivo</i>	chemickou cestou
Izotopické značení	snadné	nákladné
Hustota ^1H	rel. vysoká	nižší
Sekvenční přiřazení	through bond J-coupling	through space NOE
Restrainy pro určení struktury	δ : alfa vs. beta, NOE, RDC	mj. NOE, RDC, J-coupling(riboza), ^{31}P

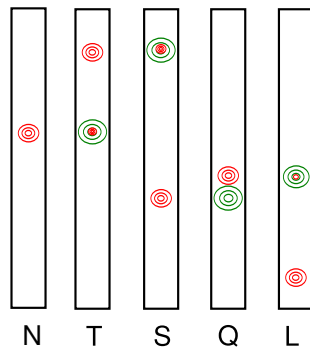
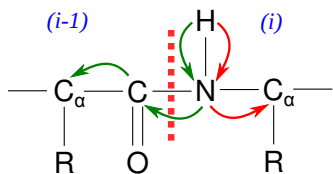
Úloha 6: Sekvenční přiřazení peptidu

Pomocí fiktivních výsledků (strip-plotu) 3D NMR experimentů (**HNCA**, **HN(CO)CA**) určete N→C sekvenci hypotetického peptidu:



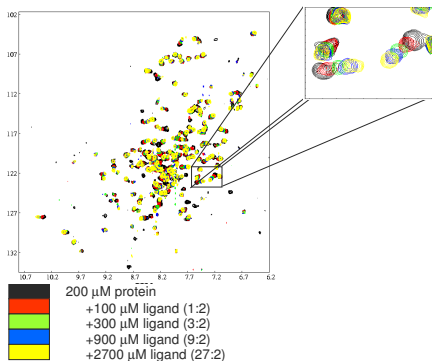
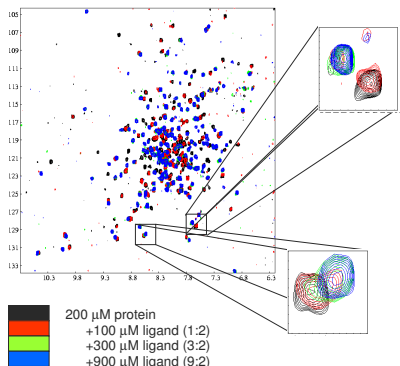
Úloha 6: Sekvenční přiřazení peptidu

Pomocí fiktivních výsledků (strip-plotu) 3D NMR experimentů (**HNCA**, **HN(CO)CA**) určete N→C sekvenci hypotetického peptidu:



Úloha 7: Časová škála interakce ligand-receptor

Charakterizujte přiložená $^{15}\text{N}-^1\text{H}$ HSQC spektra zobrazující titrační experiment pomocí pojmu: *rychlá, střední a pomalá výměna*:



Úloha 8: Populace jaderného spinu

Vypočtěte rozdíl v populaci izolovaných jaderných spinů $\alpha - \beta$ pro atom ${}^1\text{H}$ (magnetogyrická konstanta $\gamma = 2.68 \cdot 10^8 \text{ T}^{-1}\text{s}^{-1}$) v magnetickém poli 11.7 T a teplotě 298 K.

Úloha 8: Populace jaderného spinu

Vypočtěte rozdíl v populaci izolovaných jaderných spinů $\alpha - \beta$ pro atom ${}^1\text{H}$ (magnetogyrická konstanta $\gamma = 2.68 \cdot 10^8 \text{ T}^{-1}\text{s}^{-1}$) v magnetickém poli 11.7 T a teplotě 298 K.

Řešení

$$\Delta E = E_\beta - E_\alpha = \hbar\omega = \hbar\gamma B_0$$

$$\frac{N_\beta}{N_\alpha} = e^{-\frac{(E_\beta - E_\alpha)}{kT}} = e^{-\frac{\hbar\gamma B_0}{kT}} = 0.999919 \approx \frac{100000}{100008}$$

Úloha 9: Nukleární Overhauserův efekt

Uvažujme zjednodušený NOE experiment provedený na malém proteinu. Krátkým ozařováním o délce 25 ms saturujeme populaci spinu $H\beta$ a okamžitě měříme signál blízkého spinu $H\gamma$ v leucinu - za podmínky approximace počátečního stavu ($t \rightarrow 0$). Ukažte, jak se za těchto podmínek zjednoduší kinetická rovnice prvního řádu popisující časový vývoj magnetizace spinu $H\gamma$ v závislosti na auto-relaxaci (rychlostní konstanta ρ) a cross-relaxaci (σ):

$$\frac{dI_\gamma}{dt} = -\rho[I_\gamma - I_\gamma(0)] - \sigma[I_\beta - I_\beta(0)]$$

Jaká je přibližná vzdálenost atomů $H\beta$ a $H\gamma$, jestliže jsme při tomto experimentu pozorovali změnu signálu v důsledku NOE o velikosti -0.04 a pro referenční vzdálenost atomů $H\beta_1$ - $H\beta_2$ 1.75 Å bylo naměřeno NOE -0.3?

Úloha 9: Nukleární Overhauserův efekt

Uvažujme zjednodušený NOE experiment provedený na malém proteinu. Krátkým ozařováním o délce 25 ms saturujeme populaci spinu $H\beta$ a okamžitě měříme signál blízkého spinu $H\gamma$ v leucinu - za podmínky approximace počátečního stavu ($t \rightarrow 0$). Ukažte, jak se za těchto podmínek zjednoduší kinetická rovnice prvního řádu popisující časový vývoj magnetizace spinu $H\gamma$ v závislosti na auto-relaxaci (rychlostní konstanta ρ) a cross-relaxaci (σ):

$$\frac{dI_\gamma}{dt} = -\rho[I_\gamma - I_\gamma(0)] - \sigma[I_\beta - I_\beta(0)]$$

Jaká je přibližná vzdálenost atomů $H\beta$ a $H\gamma$, jestliže jsme při tomto experimentu pozorovali změnu signálu v důsledku NOE o velikosti -0.04 a pro referenční vzdálenost atomů $H\beta_1$ - $H\beta_2$ 1.75 Å bylo naměřeno NOE -0.3?

Řešení

$$\frac{dI_\gamma}{dt}|_{t \rightarrow 0} = -\rho[I_\gamma(0) - I_\gamma(0)] + \sigma I_\beta(0) = \sigma I_\beta(0) \Rightarrow I_\gamma = \sigma I_\beta(0)t$$

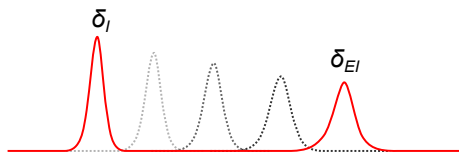
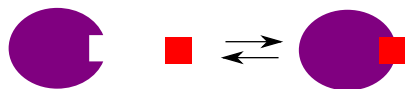
$$\frac{NOE_{\gamma-\beta}}{NOE_{\beta_1-\beta_2}} = \frac{r_{\beta_1-\beta_2}^6}{r_{\gamma-\beta}^6} \Rightarrow r_{\gamma-\beta}^6 = 1.75^6 \frac{-0.3}{-0.04} = 2.44 \text{ Å}$$

Úloha 10: Určování vazebné konstanty

Pomocí NMR titrace lze určit vazebnou konstantu např. interakce enzym-inhibitor:



V případě rychlé výměny pozorujeme posun zprůměrovaného signálu inhibitoru v závislosti na poměru volné a vázané formy inhibitoru (f_I, f_{EI}). Ukažte, čemu se rovná směrnice a průsečík lineární závislosti počáteční koncentrace inhibitoru na změně chemického posunu $[I]_0 \propto \delta_I - \delta_I(0)$, pokud je počáteční koncentrace inhibitoru mnohem větší než koncentrace enzymu.



Použitá a doporučená literatura

<http://bouman.chem.georgetown.edu/nmr/dipolar/dipolar.html>

<http://groups.chem.ubc.ca/straus/I2.pdf>

<http://www.columbia.edu/itc/chemistry/chem-c1403/lectures/Fall2005/>

http://otter.biochem.ubc.ca/publications/BcX_Tyrosine_JBNMR_2011.pdf

P. Atkins, J. de Paula: Physical Chemistry

Příště: Biosenzory a jejich aplikace